

МАГНИТООПТИЧЕСКАЯ СИЛА В РЕЗОНАНСНОМ ПОЛЕ, ОБРАЗОВАННОМ СВЕТОВЫМИ ВОЛНАМИ С ЭЛЛИПТИЧЕСКОЙ ПОЛЯРИЗАЦИЕЙ

О. Н. Прудников, А. В. Тайченачев, А. М. Тумайкин, В. И. Юдин

*Новосибирский государственный университет,
Институт лазерной физики Сибирского отделения Российской академии наук^{*}
630090, Новосибирск, Россия*

Поступила в редакцию 17 октября 2007 г.

В рамках одномерной модели исследуется зависимость магнитооптической силы от эллиптичности поляризации световых пучков для замкнутых оптических переходов $J_g \rightarrow J_e$. В линейном приближении по скорости и магнитному полю для ряда переходов найдены аналитические выражения для магнитооптической силы. Показано, что в световых полях, образованных волнами с эллиптической поляризацией возникают качественно новые вклады, имеющие четную зависимость от отстройки светового поля и неисчезающие даже в случае точного резонанса. На основе анализа этих результатов сделан вывод о принципиальной возможности устойчивой работы магнитооптической ловушки при нулевой отстройке поля. С использованием численных методов также изучена нелинейная зависимость силы от скорости и магнитного поля и получены оценки для характерной скорости захвата атомов и числа атомов в ловушке.

PACS: 32.60.+i, 37.10.Vz, 39.10.+j

1. ВВЕДЕНИЕ

Механическое действие резонансного лазерного излучения на атомы является важным направлением исследований в современной атомной и лазерной физике. В настоящее время одним из основных источников холодных атомов (с температурой порядка 10–100 мК) являются магнитооптические ловушки (МОЛ) различных конструкций. Удачное сочетание эффективного лазерного охлаждения с большой глубиной (порядка нескольких К) магнитооптического потенциала, образованного действием сил резонансного светового давления в присутствии неоднородного магнитного поля, приводит к надежной работе МОЛ при не очень жестких требованиях к параметрам установки (вакуум, градиент магнитного поля, интенсивность и размер лазерных пучков и т. п.). Холодные атомы, приготовленные в МОЛ, находят широкое применение в различных областях физических исследований, например, в нелинейной спект-

роскопии сверхвысокого разрешения, при исследовании охлаждения и динамики атомов в оптических решетках, в области фундаментальной метрологии при создании первичных стандартов частоты нового поколения, для достижения бозе-эйнштейновской конденсации и других.

Теория МОЛ, так же как и теория лазерного охлаждения и захвата нейтральных атомов в целом [1–3], развивалась, по преимуществу, применительно к обычно используемым в экспериментах полям, образованным циркулярно или линейно поляризованными лазерными пучками. Недавно на примере одномерной оптической решетки в отсутствие магнитного поля нами было показано [4, 5], что кинетика атомов в полях, образованных волнами с эллиптической поляризацией, имеет ряд качественных отличий по сравнению со случаями линейной и циркулярной поляризаций. Так, использование волн с эллиптическими поляризациями приводит к новым особенностям в зависимости силы, действующей на атом, от частоты (отстройки) светового поля. В результате появляется принципиальная возможность

*E-mail: llf@laser.nsc.ru

лазерного охлаждения даже в условиях точного резонанса и, более того, в некоторой «аномальной» области голубых отстроек [6]. Другой интересный эффект, имеющий место в эллиптически поляризованных полях — это «выпрямление» дипольной силы в отсутствие магнитного поля [7].

В настоящей работе исследуются поляризационные особенности магнитооптической силы, действующей на атомы в полях, образованных эллиптически поляризованными волнами в присутствии магнитного поля. Рассмотрение ведется в рамках стандартной одномерной модели МОЛ, но без ограничений на поляризацию световых волн, которая в общем случае является эллиптической. В линейном приближении по скорости и магнитному полю найдены коэффициент трения и коэффициент упругости возвращающей магнитооптической силы (коэффициент кривизны магнитооптического потенциала). Особое внимание уделено условиям, при которых возможна устойчивая работа МОЛ при точном резонансе частоты излучения с частотой атомного перехода, поскольку в этом случае наиболее ярко проявляются качественные отличия кинетики атомов, связанные с эллиптичностью поляризации волн. Кроме того, с использованием численных методов изучена нелинейная зависимость магнитооптической силы от скорости и магнитного поля и получены оценки для числа атомов, захваченных в ловушку в различных режимах. Такая постановка задачи и полученные результаты могут быть полезны при теоретическом описании магнитооптической ловушки, использующей световые волны с эллиптической поляризацией.

Дополнительно отметим, что, как было замечено в работе [8], данный режим работы МОЛ может иметь ряд преимуществ по сравнению с обычной МОЛ. В частности, обычная МОЛ, радикально подавляя доплеровское уширение, приводит к уширению атомных линий из-за пространственно-неоднородных зеемановских и световых сдвигов. Зеемановские сдвиги уровней существенны для периферийной области атомного ансамбля. В условиях взятого конфайнмента (в оптическом молассисе) магнитное поле можно сделать малым, но оптические сдвиги будут ощущимы при размерах атомного облака, сравнимых с размерами охлаждающих световых пучков. В МОЛ, образованной волнами с эллиптической поляризацией, в условиях точного резонанса зеемановские и оптические сдвиги могут быть подавлены, что облегчит спектроскопические исследования в стационарном режиме при однородных условиях для всего ансамбля атомов.

2. ПОСТАНОВКА ЗАДАЧИ

Рассмотрим одномерную модель магнитооптической ловушки. Атом с оптическим переходом $J_g \rightarrow J_e$ (где J_g, J_e — угловые моменты основного и возбужденного уровней) движется в световом поле, образованном встречными эллиптически поляризованными волнами, в присутствии магнитного поля. Волновые векторы и магнитное поле параллельны оси z . Гамильтониан рассматриваемой системы может быть записан в виде

$$\hat{H} = \hat{H}_0 - \hat{\mu}\mathbf{B} - \hat{d}\mathbf{E}. \quad (1)$$

Здесь \hat{H}_0 — гамильтониан свободного атома во врашающемся (в пространстве энергетического псевдоспина) базисе:

$$\hat{H}_0 = \frac{\hat{p}^2}{2M} - \hbar\delta\hat{\Pi}_e, \quad (2)$$

где $\delta = (\omega - \omega_0)$ — отстройка частоты поля от частоты атомного перехода ω_0 , M — масса атома, проекционный оператор

$$\hat{\Pi}_e = \sum_{\mu_e} |J_e, \mu_e\rangle\langle J_e, \mu_e| \quad (3)$$

построен из волновых функций зеемановских подуровней возбужденного состояния $|J_e, \mu_e\rangle$. Два последних члена в формуле (1) описывают взаимодействие атома с внешним магнитным полем \mathbf{B} и резонансным монохроматическим лазерным полем $\mathbf{E}(z, t) = \mathbf{E}(z)e^{-i\omega t} + \text{с.с.}$, пространственно-неоднородную векторную амплитуду которого запишем в виде

$$\mathbf{E}(z) = E(z)\mathbf{e}(z)e^{i\Phi(z)}, \quad (4)$$

где $E(z)$ — вещественная амплитуда, $\mathbf{e}(z)$ — единичный комплексный вектор поляризации. Фаза поля $\Phi(z)$ задается таким образом, что величина $\mathbf{e}(z) \cdot \mathbf{e}(z) = \cos(2\varepsilon(z))$ является вещественной и определяет локальную эллиптичность светового поля ($\varepsilon(z)$ — параметр (угол) эллиптичности, $|\operatorname{tg} \varepsilon|$ равен отношению длин малой полуоси эллипса поляризации к большой). В дипольном приближении оператор резонансного взаимодействия с полем (4) записывается следующим образом:

$$\hat{V}(z) = \hbar\Omega(z) \sum_{q=0, \pm 1} \hat{D}_q e^q(z) + \text{H.c.} \quad (5)$$

Здесь $\Omega = -dE/\hbar$ — частота Раби, d — приведенный матричный элемент, $e^q(z)$ — контравариантные компоненты вектора поляризации в циклическом базисе

$$\left\{ \mathbf{e}_0 = \mathbf{e}_z, \mathbf{e}_{\pm 1} = \mp(\mathbf{e}_x \pm i\mathbf{e}_y)/\sqrt{2} \right\}.$$

Оператор \hat{D}_q выражается через коэффициенты Клебша–Гордана:

$$\hat{D}_q = \sum_{\mu_e, \mu_g} |J_e, \mu_e\rangle C_{J_g \mu_g, 1q}^{J_e \mu_e} \langle J_g, \mu_g|. \quad (6)$$

Добавка к гамильтониану, описывающая линейное зеемановское расщепление магнитных подуровней, может быть записана в следующей форме:

$$\hat{H}_B = \hbar \Omega_Z \left(\hat{\mathbf{J}}_g + \frac{g^{(e)}}{g^{(g)}} \hat{\mathbf{J}}_e \right) \cdot \mathbf{b}, \quad (7)$$

где $\hat{\mathbf{J}}_g$ и $\hat{\mathbf{J}}_e$ — операторы полного углового момента основного и возбужденного состояний, Ω_Z — зеемановское расщепление основного состояния, $g^{(e,g)}$ — гиromагнитные факторы Ланде возбужденного и основного состояний, $\mathbf{b} = \mathbf{B}/B$ — единичный вектор в направлении магнитного поля.

В стационарных условиях сила, действующая на атом, определяется средним значением оператора силы (см., например, [1]):

$$F(z, v) = \text{Tr}\{\hat{F}(z)\hat{\rho}(z, v)\}, \quad \hat{F}(z) = -\nabla_z \hat{V}(z), \quad (8)$$

где атомная матрица плотности в вигнеровском представлении $\hat{\rho}(z, v)$ удовлетворяет в квазиклассическом приближении [1, 2] обобщенным оптическим уравнениям Блоха:

$$\begin{aligned} v \nabla_z \hat{\rho}(z, v) = & -\frac{i}{\hbar} \left[\hat{V}(z) + \hat{H}_B, \hat{\rho}(z, v) \right] - \\ & - \left[\left(\frac{\gamma}{2} - i\delta \right) \hat{\Pi}_e \hat{\rho}(z, v) + \left(\frac{\gamma}{2} + i\delta \right) \hat{\rho}(z, v) \hat{\Pi}_e \right] + \\ & + \gamma \sum_q \hat{D}_q^\dagger \hat{\rho}(z, v) \hat{D}_q. \end{aligned} \quad (9)$$

Здесь γ — скорость радиационной релаксации возбужденного состояния, а $[\dots, \dots]$ — стандартное обозначение для коммутатора операторов.

3. ЛИНЕЙНАЯ ТЕОРИЯ МАГНИТООПТИЧЕСКИХ ЛОВУШЕК

Нахождение решения уравнения (9) в аналитическом виде в случае неоднородного по интенсивности и поляризации поля возможно только в различных предельных ситуациях. Применительно к задачам лазерного охлаждения и захвата в магнитооптической ловушке особый интерес представляет рассмотрение медленных атомов и слабых магнитных полей, когда соответствующие доплеровский сдвиг и зеемановское расщепление много меньше скорости релаксации по внутренним степеням свободы. При

выполнении этих условий в выражении для силы достаточно ограничиться линейным приближением по скорости и амплитуде магнитного поля:

$$F(z, v) \approx F^{(0)}(z) + v \xi(z) + \Omega_Z f(z), \quad (10)$$

где $F^{(0)}(z)$ представляет силу светового давления на неподвижный атом в точке z в нулевом магнитном поле, второе слагаемое является силой трения, а третье соответствует магнитооптической силе первого порядка по Ω_Z . В среднем по пространственному периоду поля сила нулевого порядка обычно обращается в нуль. Сила трения и магнитооптическая сила в среднем не исчезают, приводя к формированию потенциала ловушки и захвату атомов в нее. Далее, как обычно, предполагается медленная (по отношению к длине волны) линейная зависимость зеемановского расщепления от координаты $\Omega_Z = \alpha z$, тогда $\kappa = \alpha \langle f(z) \rangle_z$ имеет смысл коэффициента упругости или кривизны магнитооптического потенциала вблизи точки экстремума $z = 0$.

Можно показать, что кинетические коэффициенты могут быть выражены единым образом через матрицу «первых поправок» $\hat{\varphi}$ [5, 6, 9], которая удовлетворяет неоднородному уравнению

$$\begin{aligned} & \left[\left(\frac{\gamma}{2} + i\delta \right) \hat{\Pi}_e \hat{\varphi} + \left(\frac{\gamma}{2} - i\delta \right) \hat{\varphi} \hat{\Pi}_e \right] - \\ & - \gamma \sum_q \hat{D}_q \hat{\varphi} \hat{D}_q^\dagger - \frac{i}{\hbar} [\hat{V}, \hat{\varphi}] = \frac{\delta \hat{F}}{\hbar k}, \end{aligned} \quad (11)$$

источником в котором является оператор флюктуации силы:

$$\delta \hat{F}(z) = \hat{F}(z) - F^{(0)}(z). \quad (12)$$

При этом выражение для коэффициента трения определяется сверткой матрицы $\hat{\varphi}$ и градиента матрицы плотности атомов:

$$\xi(z) = -\hbar k \text{Tr} \{ \hat{\varphi}(z) \nabla_z \hat{\rho}(z, v=0) \}, \quad (13)$$

а линейная магнитооптическая сила записывается в виде

$$\Omega_Z f(z) = -i \text{Tr} \{ \hat{\varphi} [\hat{H}_B, \hat{\rho}(z, v=0)] \}. \quad (14)$$

В общем случае коэффициенты f и ξ можно представить в виде разложения по локальным градиентам параметров светового поля [5, 6]:

$$f = \hbar \sum_k \psi_k g^{(k)}, \quad \xi = \hbar \sum_{kk'} \chi_{kk'} g^{(k)} g^{(k')},$$

где $g^{(k)}$ определены следующим образом:

$$\begin{aligned} g^{(1)} &= \nabla_z \ln E, & g^{(2)} &= \nabla_z \Phi, \\ g^{(3)} &= \nabla_z \varepsilon, & g^{(4)} &= \nabla_z \phi, \end{aligned}$$

т. е. это градиенты логарифма амплитуды светового поля, фазы, параметра эллиптичности и угла поворота, задающего ориентацию эллипса поляризации светового поля. Таким образом, задача сводится к поиску коэффициентов χ и ψ , которые зависят от локальных интенсивности и эллиптичности светового поля и типа оптического перехода.

Следует отметить, что в тех случаях, когда оператор \hat{H}_B , описывающий линейное зеемановское расщепление, пропорционален (точно либо приближенно, например, в полях малой интенсивности) полному угловому моменту $\hat{\mathbf{J}}_g + \hat{\mathbf{J}}_e$, существует простая связь между коэффициентами χ и ψ , а именно

$$\psi_k = -\chi_{k4}. \quad (15)$$

4. АНАЛИТИЧЕСКИЕ РЕЗУЛЬТАТЫ

Для ряда оптических переходов явные аналитические выражения для коэффициентов χ были получены нами в работах [5, 6]. Так, например, в пределе малых насыщений, когда населенностью возбужденного состояния можно пренебречь, приближенно выполняются условия применимости формулы (15). Соответствующие аналитические выражения для ψ_k для оптического перехода $1 \rightarrow 2$ имеют вид

$$\begin{aligned} \psi_1 &= 320 \frac{\delta^2}{\gamma^2} \cos^2(2\varepsilon) \sin(2\varepsilon) \frac{4 \cos^2(2\varepsilon) + 5}{D}, \\ \psi_2 &= -160 \frac{\delta}{\gamma} \cos^2(2\varepsilon) \sin(2\varepsilon) \frac{4 \cos^2(2\varepsilon) + 5}{D}, \\ \psi_3 &= \frac{1}{D} \left\{ 40 \frac{\delta^2}{\gamma^2} \cos(2\varepsilon) [25 + 28 \cos^2(2\varepsilon) + \right. \\ &\quad \left. + 32 \cos^4(2\varepsilon)] + 80 \cos^3(2\varepsilon) - 250 \cos(2\varepsilon) \right\}, \\ \psi_4 &= 120 \frac{\delta}{\gamma} \cos^2(2\varepsilon) \frac{2 \cos^2(2\varepsilon) + 15}{D}, \\ D &= \left[4(4 \cos^2(2\varepsilon) - 5) \frac{\delta^2}{\gamma^2} - 5 \right] [25 - \cos^2(2\varepsilon)]^2. \end{aligned} \quad (16)$$

Отметим, что для $\sigma_+ - \sigma_-$ -конфигурации светового поля, образованной встречными волнами с противоположными круговыми поляризациями, имеется

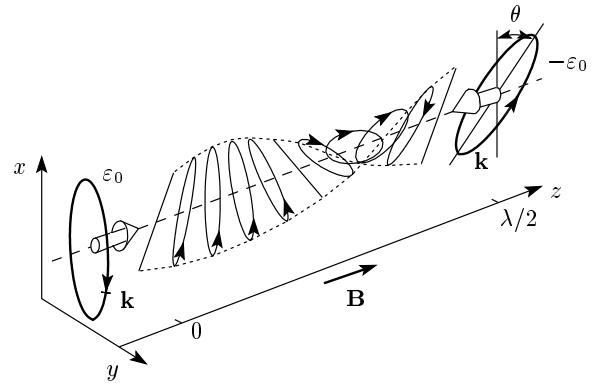


Рис. 1. Пространственная конфигурация светового поля ε - θ - $\bar{\varepsilon}$. Поле образовано встречными волнами эллиптической поляризации с параметрами эллиптичности ε_0 и $-\varepsilon_0$. Магнитное поле направлено вдоль оси z

лишь один пространственный градиент, отличный от нуля, — это градиент угла поворота вектора поляризации $\nabla \phi = -k$. Соответственно магнитооптическая сила принимает простой вид:

$$f = \hbar k \frac{120}{17} \frac{\delta \gamma}{4 \delta^2 + 5 \gamma^2}. \quad (17)$$

Глубина магнитооптического потенциала зависит от величины магнитного поля и отстройки. В частности, в точном резонансе ($\delta = 0$) магнитооптический потенциал исчезает.

В поле, созданном встречными волнами с эллиптическими поляризациями, одновременно отличны от нуля градиенты амплитуды, эллиптичности, фазы и угла поворота. Простейшим примером такого поля является ε - θ - $\bar{\varepsilon}$ -конфигурация, образованная встречными волнами с противоположными эллиптическими поляризациями ε_0 и $-\varepsilon_0$ и углом θ между осями эллипсов поляризации (рис. 1). В таких полях, как видно из формул (16), возникают вклады, имеющие четную зависимость от отстройки (ψ_1 и ψ_3). В частности, в точном резонансе при $\delta = 0$ коэффициент ψ_3 , возникающий от градиента эллиптичности, отличен от нуля. Легко показать, что для одномерных конфигураций светового поля этот вклад в нулевом порядке по интенсивности светового поля исчезает в среднем по пространственному периоду.

Тем не менее, учет конечного насыщения приводит к тому, что четная по отстройке составляющая магнитооптической силы в среднем по пространственному периоду поля отлична от нуля. В

качестве примера приведем здесь результаты для перехода $1/2 \rightarrow 1/2$:

$$\begin{aligned} \psi_1 &= -\left(1 + \frac{g^{(e)}}{g^{(g)}}\right) \frac{S_\varepsilon \sin(2\varepsilon)}{(1+S_\varepsilon)^2} \frac{\delta^2}{\gamma^2/4 + \delta^2}, \\ \psi_2 &= \frac{1+g^{(e)}/g^{(g)}}{2} \frac{S_\varepsilon \sin(2\varepsilon)}{(1+S_\varepsilon)^2} \frac{\delta\gamma}{\gamma^2/4 + \delta^2}, \\ \psi_3 &= -\frac{1+g^{(e)}/g^{(g)}}{2 \cos(2\varepsilon)} \frac{S_\varepsilon}{(1+S_\varepsilon)^2} \times \\ &\quad \times \frac{(1+S_\varepsilon)\gamma^2/4 + \delta^2(S_\varepsilon - 1) + 2\delta^2 \cos^2(2\varepsilon)}{\gamma^2/4 + \delta^2}, \\ \psi_4 &= 0, \end{aligned} \quad (18)$$

где

$$S_\varepsilon = \frac{2}{3} \cos^2(2\varepsilon) \frac{\Omega^2}{\gamma^2/4 + \delta^2}$$

— эффективный параметр насыщения.

В общем случае сила трения и магнитооптическая сила содержат как нечетные, так и четные по отстройке вклады, которые не исчезают при усреднении по пространственному периоду даже в случае точного резонанса. Это обстоятельство является принципиальным, приводя к возможности захвата атомов в МОЛ в условиях точного резонанса с излучением.

Для данного перехода в поле $\varepsilon-\theta-\bar{\varepsilon}$ -конфигурации, в условиях малого насыщения перехода в низших порядках по S можно провести усреднение по координате z в аналитическом виде. В этом случае неисчезающий при нулевой отстройке член имеет вид

$$\langle f \rangle_z = \hbar k \frac{2S_0}{3} \left(1 + \frac{g^{(e)}}{g^{(g)}}\right) \times \times \operatorname{tg} \theta \left(\sqrt{1 - \cos^2(2\varepsilon_0) \cos^2 \theta} - 1\right), \quad (19)$$

где S_0 — параметр насыщения в расчете на одну волну. Из выражения (19), в частности, видно, что магнитооптическая сила в случае точного резонанса является четной функцией параметра эллиптичности встречных волн ε_0 и нечетной функцией угла θ . Коэффициент трения для рассматриваемого случая был найден нами в работе [5]:

$$\langle \xi \rangle_z = \hbar k^2 \frac{3}{8} \frac{\sin(2\theta) \cos(2\varepsilon_0) \sin(4\varepsilon_0)}{(1 - \cos^2(2\varepsilon_0) \cos^2 \theta)^{3/2}}. \quad (20)$$

Он имеет нечетную зависимость как от параметра эллиптичности встречных волн ε_0 , так и от угла θ . Пусть гиromагнитные факторы основного и возбужденного состояний положительны и градиент магнитного поля больше нуля, т. е. $\nabla_z \Omega_Z > 0$, тогда устойчивый захват атомов в точном резонансе будет иметь место при $-\pi/2 < \theta < 0$ и $0 < \varepsilon_0 < \pi/4$.

5. ЧИСЛЕННЫЕ РЕЗУЛЬТАТЫ

Для переходов с угловыми моментами уровней, большими $1/2$, аналогичные результаты могут быть получены на основе численного решения системы алгебраических уравнений для элементов матрицы первых поправок, выведенной в работе [5]. На рис. 2 приведена зависимость линейной магнитооптической силы для оптического перехода $2 \rightarrow 3$ (например, один из замкнутых переходов D_2 -линии ^{87}Rb) и коэффициента трения в поле $\varepsilon-\theta-\bar{\varepsilon}$ для $\varepsilon_0 = -\pi/8$, $\theta = -\pi/4$ и амплитуд встречных волн, соответствующих частоте Раби $\Omega = 0.5\gamma$. Гиromагнитные множители основного и возбужденного состояний выбраны равными $g^{(g)} = 1/2$ и $g^{(e)} = 2/3$. Отметим, что в отличие от рассмотренного ранее оптического перехода $1/2 \rightarrow 1/2$ для оптических пере-

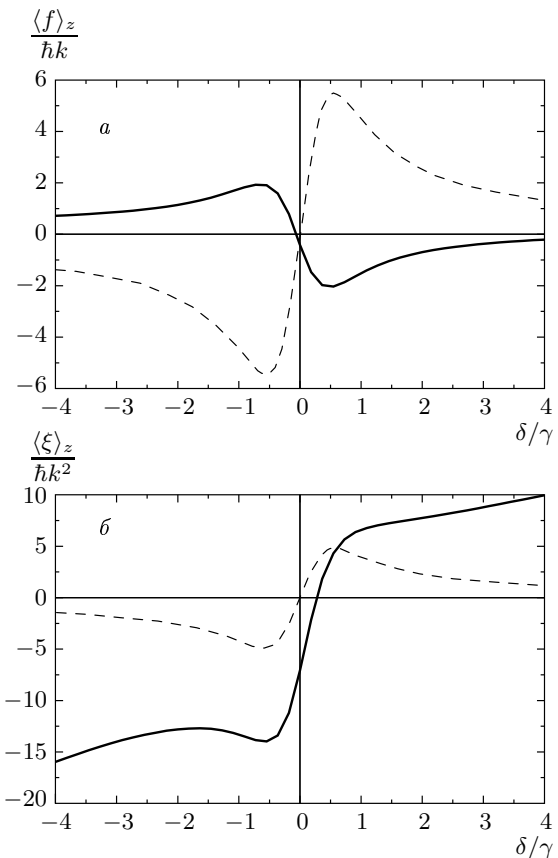


Рис. 2. Магнитооптическая сила (а) и коэффициент трения (б) как функции отстройки. Штриховые линии — конфигурация $\sigma_+ - \sigma_-$ светового поля, сплошные линии — конфигурация $\varepsilon - \theta - \bar{\varepsilon}$ светового поля с $\varepsilon = -\pi/8$, $\theta = -\pi/4$. Амплитуда встречных волн соответствует частоте Раби $\Omega = 0.5\gamma$

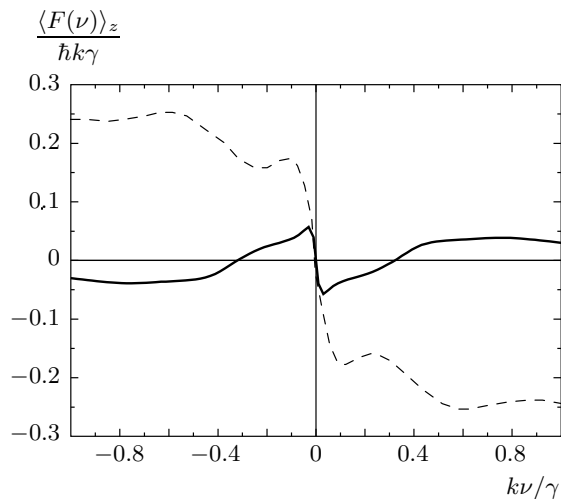


Рис. 3. Зависимости магнитооптической силы от скорости атомов для замкнутого перехода $2 \rightarrow 3$ в поле $\epsilon - \theta - \bar{\epsilon}$ при $\epsilon_0 = -\pi/8$, $\theta = -\pi/4$ и амплитуд вспречных волн, соответствующих частоте Раби $\Omega = \gamma$ при $\delta = 0$ (сплошная линия), и в стандартной $\sigma_+ - \sigma_-$ -конфигурации светового поля при $\delta = -0.5\gamma$ (штриховая линия)

ходов $J \rightarrow J + 1$ устойчивый захват атомов при точном резонансе имеет место в области $-\pi/2 < \theta < 0$ и $-\pi/4 < \epsilon_0 < 0$ при положительном градиенте магнитного поля $\nabla_z \Omega_Z > 0$. Как видно из расчета, магнитооптическая сила и коэффициент трения отрицательны при $\delta = 0$, что является необходимым условием работы МОЛ при $\nabla_z \Omega_Z > 0$. Для сравнения на рис. 2 приведены данные для стандартной $\sigma_+ - \sigma_-$ -конфигурации светового поля. Видно, что коэффициенты кривизны потенциала и трения в поле $\epsilon - \theta - \bar{\epsilon}$ -конфигурации ($\epsilon_0 = -\pi/8$, $\theta = -\pi/4$) при $\delta = 0$ и в $\sigma_+ - \sigma_-$ -поле ($\epsilon_0 = \pi/4$, $\theta = 0$) при $\delta = -0.5\gamma$ являются величинами одного порядка. Важно отметить, что для устойчивой работы МОЛ в двух различных режимах (при $\delta = 0$ и при $\delta < 0$) требуются противоположные спиральности пространственно-поляризационной конфигурации поля, т. е. противоположные знаки ϵ_0 .

6. НЕЛИНЕЙНАЯ ТЕОРИЯ МАГНИТООПТИЧЕСКИХ ЛОВУШЕК

Для оценки числа атомов N_c , захваченных в ловушке, нужно знать характерную скорость захвата v_c (атомы со скоростями выше v_c пролетают область действия магнитооптических сил, не захватываясь). Как известно [10], $N_c \propto v_c^4$. Для нахождения ско-

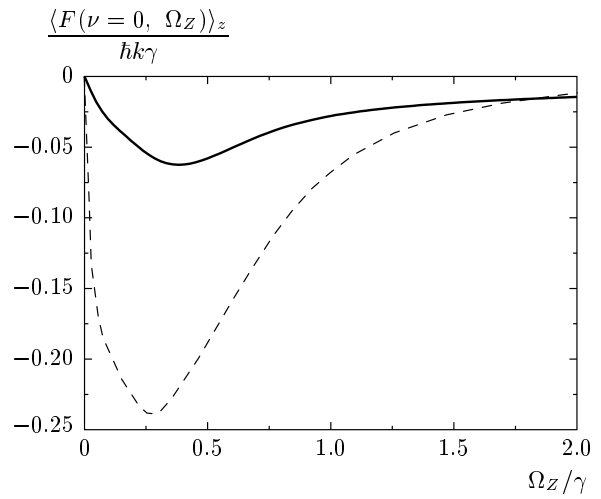


Рис. 4. Зависимость магнитооптической силы от магнитного поля в поле $\epsilon - \theta - \bar{\epsilon}$ при $\epsilon_0 = -\pi/8$, $\theta = -\pi/4$ и амплитуд вспречных волн, соответствующих частоте Раби $\Omega = \gamma$ при $\delta = 0$ (сплошная линия), и в стандартной $\sigma_+ - \sigma_-$ -конфигурации светового поля при $\delta = -0.5\gamma$ (штриховая линия). Сила $\langle F(v = 0, \Omega_Z) \rangle_z$ измеряется в единицах $\hbar k \gamma$, зеемановское расщепление Ω_Z — в единицах γ

рости v_c необходим выход за рамки линейной теории. Нами развит метод расчета усредненной по пространственному периоду силы $\langle F(v, \Omega_Z) \rangle_z$, действующей на атом, с полной (нелинейной) зависимостью от скорости и магнитного поля в световом поле произвольной одномерной конфигурации. Наш подход основан на численном решении системы уравнений (9) посредством разложения вигнеровской матрицы плотности атомов в ряд Фурье по пространственным координатам с последующим использованием метода матричных цепных дробей [11] для вычисления коэффициентов этого разложения. На рис. 3, 4 приведены типичные нелинейные зависимости $\langle F(v, \Omega_Z = 0) \rangle_z$ и $\langle F(v = 0, \Omega_Z) \rangle_z$ для замкнутого перехода $2 \rightarrow 3$ D_2 линии ^{87}Rb в поле $\epsilon - \theta - \bar{\epsilon}$ для $\epsilon_0 = -\pi/8$, $\theta = -\pi/4$ и амплитуд вспречных волн, соответствующих частоте Раби $\Omega = \gamma$ при $\delta = 0$. Для сравнения на тех же рисунках приведены расчеты для стандартной $\sigma_+ - \sigma_-$ -конфигурации светового поля при $\delta = -0.5\gamma$. Из рис. 3, 4 видно, что область действия сил трения в случае стандартной конфигурации существенно больше, чем в случае $\delta = 0$, при сравнимой глубине соответствующих магнитооптических потенциалов. Это должно приводить к существенно меньшим значениям v_c и N_c в интересующем нас случае $\delta = 0$. Действительно, расчеты, основанные на численном решении

уравнений движения (Ньютона) с полной нелинейной зависимостью $\langle F(v, \Omega_Z) \rangle_z$, показывают, что при $\delta = 0$ значение v_c с хорошей точностью определяется точкой обращения в нуль магнитооптической силы на входе в ловушку. Другими словами, v_c есть положительное решение уравнения $\langle F(v_c, \Omega_Z) \rangle_z = 0$, где $\Omega_Z = -\alpha L$ соответствует зеемановскому расщеплению на входе в ловушку ($2L$ — линейный размер ловушки, который задается диаметром лазерного пучка). В достаточно интенсивных лазерных полях (при $\Omega \geq \gamma$, что соответствует интенсивности $I \geq 12 \text{ мВт}/\text{см}^2$) скорость v_c может достигать значений порядка $\gamma/k \approx 4.5 \text{ м/с}$. Оценка числа захваченных атомов (по формуле (1) работы [10]) с этим значением v_c и $L = 1 \text{ см}$ дает $N_c \approx 2 \cdot 10^5$. Таким образом, число атомов в ловушке при $\delta = 0$ на два–три порядка меньше, чем в стандартной МОЛ. Однако даже такое относительно небольшое количество атомов легко детектируется стандартными методами, основанными на наблюдении резонансной флюoresценции холодных атомов. При этом оптимальное зеемановское расщепление на входе в ловушку $\alpha L \approx 0.01\gamma$, а соответствующий градиент магнитного поля $\nabla_z B \approx 0.1 \text{ Гс/см}$ на один–два порядка меньше, чем обычно используемые градиенты ($\sim 10 \text{ Гс/см}$) в стандартных МОЛ [12].

7. ЗАКЛЮЧЕНИЕ

Подведем некоторые итоги. В работе в рамках одномерной модели МОЛ исследуется зависимость магнитооптической силы от эллиптической поляризации световых пучков для замкнутых оптических переходов $J_g \rightarrow J_e$. В линейном приближении по скорости и магнитному полю для ряда переходов найдены коэффициенты трения и кривизны магнитооптического потенциала. На основе анализа этих результатов сделан вывод о принципиальной возможности устойчивой работы МОЛ при нулевой отстройке поля от резонанса в случае $\varepsilon-\theta-\bar{\varepsilon}$ -конфигурации. С использованием численных методов изучена нелинейная зависимость силы от скорости и магнитного поля. Получены оценки для характерной скорости захвата атомов и числа атомов в ловушке. Проведено сравнение двух режимов работы МОЛ: при $\delta = 0$ в $\varepsilon-\theta-\bar{\varepsilon}$ -поле и стандартной $\sigma_+-\sigma_-$ -конфигурации при $\delta < 0$. При этом установлены следующие основные различия этих режимов: 1) для устойчивой работы МОЛ требуются противоположные спиральности пространственно-поляризационной конфигурации

поля; 2) максимальное число атомов в стандартной МОЛ на два–три порядка больше; 3) оптимальный градиент магнитного поля, при котором число атомов достигает максимума, в стандартной МОЛ на один–два порядка больше.

Работа выполнена при поддержке РФФИ (гранты №№ 07-02-01230, 07-02-01028, 08-02-01108), ИНТАС–СО РАН (проект № 06-1000013-9427) и Президиума СО РАН. Работа О. Н. П. была поддержана грантом МК-3745.2007.2.

ЛИТЕРАТУРА

1. А. П. Казанцев, Г. И. Сурдутович, В. П. Яковлев, *Механическое действие света на атомы*, Наука, Москва (1991).
2. В. Г. Миногин, В. С. Летохов, *Давление лазерного излучения на атомы*, Наука, Москва (1986).
3. H. J. Metcalf and P. van der Straten, *Laser Cooling and Trapping*, Springer, Berlin (1999).
4. О. Н. Прудников, А. В. Тайченачев, А. М. Тумайкин, В. И. Юдин, Письма в ЖЭТФ **70**, 439 (1999).
5. О. Н. Прудников, А. В. Тайченачев, А. М. Тумайкин, В. И. Юдин, ЖЭТФ **125**, 499 (2004).
6. А. В. Безвербный, О. Н. Прудников, А. В. Тайченачев, А. М. Тумайкин, В. И. Юдин, ЖЭТФ **123**, 437 (2003).
7. О. Н. Прудников, А. В. Тайченачев, А. М. Тумайкин, В. И. Юдин, ЖЭТФ **120**, 76 (2001).
8. А. В. Яровицкий, О. Н. Прудников, В. В. Васильев, В. Л. Величанский, О. А. Разин, И. В. Шерстов, А. В. Тайченачев, В. И. Юдин, КЭ **34**, 341 (2004).
9. О. Н. Прудников, А. В. Тайченачев, А. М. Тумайкин, В. И. Юдин, ЖЭТФ **115**, 791 (1999).
10. C. Monroe, W. Swann, H. Robinson, and C. Wieman, Phys. Rev. Lett. **65**, 1571 (1990).
11. V. G. Minogin and O. T. Serimaa, Opt. Comm. **30**, 373 (1979).
12. C. G. Townsend, N. H. Edwards, C. J. Cooper, K. P. Zetie, C. J. Foot, A. M. Steane, P. Sriftgiser, H. Perrin, and J. Dalibard, Phys. Rev. A **52**, 1423 (1995).